

基于 Transformer 的 NeRF：面向前向场景表示的探索

摘要

Neural Radiance Fields (NeRF) 通过对三维空间中的辐射场进行隐式建模，实现了高质量新视角合成。然而，经典 NeRF 的训练属于“场景专属的逆向优化”：针对单一场景迭代优化一个 MLP，并在体渲染积分中进行大量采样与反向传播，导致训练代价高、泛化能力弱。本文探索一种“前向（forward）预测”的替代范式：利用视觉 Transformer（以 VGGT 为代表的多视角聚合架构）从多视角图像直接预测可用于体渲染的场景表示，从而减少/避免对每个场景的长时间优化。我们提出两条实现路径：(1) 预测 NeRF 的 MLP 参数（超网络/权重生成）；(2) 预测结构化的低维网格表示（Tri-plane/Hybrid Grid）并配合全局共享的轻量解码器（Tiny MLP）。此外，针对动态场景，我们提出一种在特征空间进行“语义一致”的时间插值方法：不显式对时间维度做回归，而是对跨时刻 token 进行匹配与插值，从而生成中间时刻的稳定表示。本文给出方法设计、训练目标与工程实现中的关键 trick，并讨论该前向范式在泛化、语义一致性与动态生成方面的意义与局限。

1. 引言

NeRF 作为三维重建与新视角合成的重要里程碑方法，通过学习连续函数 $f_\theta : (\mathbf{x}, \mathbf{d}) \mapsto (\mathbf{c}, \sigma)$ ，将空间坐标 $\mathbf{x} \in \mathbb{R}^3$ 与视角方向 $\mathbf{d} \in \mathbb{R}^3$ 映射为颜色 $\mathbf{c} \in \mathbb{R}^3$ 与体密度 $\sigma \in \mathbb{R}$ ，再通过体渲染积分生成像素颜色。该范式的核心问题在于：经典训练流程对每个场景都需进行长时间的逆向优化（per-scene optimization），并伴随高昂的射线采样与体渲染计算。

近年来，Instant-NGP 等方法在表示与加速上取得进展，但多数仍依赖场景级训练。与之相对，视觉 Transformer 在多视角几何推理方面展现出强大的“前向理解”能力：模型可以从多视角图像直接推理深度、点云、相机参数等三维要素。受此启发，本文探索：能否让多视角 Transformer 直接输出可渲染的辐射场表示，从而将 NeRF 从“逆向优化”转向“前向预测”？

我们关注以下目标：

- **泛化性：**用单一模型处理不同场景，减少每个场景的专属优化。
- **结构化表示：**将场景压缩为低维结构（如 Tri-plane / 网格 latent），提高可控性与可编辑性。
- **动态一致性：**在时间维度上避免逐点回归导致的抖动/模糊，获得语义一致的动态生成。

2. 背景与相关工作（简述）

2.1 NeRF 与体渲染

对相机射线 $\mathbf{r}(t) = \mathbf{o} + t\mathbf{d}$ 采样 N 个点 $\{t_i\}$, 得到 (\mathbf{c}_i, σ_i) , 像素颜色通过离散体渲染近似: $\hat{\mathbf{C}}(\mathbf{r}) = \sum_{i=1}^N T_i \alpha_i \mathbf{c}_i, \quad \alpha_i = 1 - \exp(-\sigma_i \Delta_i), \quad T_i = \prod_{j < i} (1 - \alpha_j)$. 训练通常最小化渲染颜色与真实像素的误差，并可加入 density/regularization 等项。

2.2 VGGT: (CVPR 2025 Best Paper)

VGGT (Visual Geometry Grounded Transformer) 是一类前向 (feed-forward) 多视角网络: 给定一张、少量或大量视图, 能够在不依赖后处理几何优化的前提下, 直接推理场景的关键三维要素, 包括相机内外参、深度图、点图 (point maps)、稠密点云以及3D 点轨迹 (point tracks) 等[2]。其特点是结构相对简洁、推理高效 (可在秒级生成重建结果), 并在多项 3D 任务上取得 SOTA 表现。

关于具体的实现方案, VGGT 可以分为两个主要部分: aggregator 与 head. aggregator 首先使用 DINOv2/CNN 将输入图像 patchify 为 tokens, 并拼接表示 3D 位置的 camera tokens, 用于相机参数预测。然后在层级结构中交替使用 frame-wise self-attention 与 global self-attention, 从而同时保留单帧细节与多视角一致性, 学习到 3D 特征。Heads: VGGT 设置了多个 DPT head 类型的 head 进行输出。如 camera head 输出相机内外参;

在本项目中, 我们将 VGGT 视为一个有充足能力的 backbone, 利用其预训练好的参数, 进行一些调整与改进, 从而应用到 NeRF 当中。采用 VGGT 的 “**Aggregator + Head**” 范式, 核心改动在于: 将 head 的预测目标从几何要素扩展为可用于 NeRF 体渲染查询的场景表示 (例如 MLP 参数或 Tri-plane latent), 从而探索 “由多视角图像直接生成辐射场表示”的前向路线。

3. Novel NeRF: 从“逆向场景优化”到“once-for-all 前向场景表征”

传统 NeRF 的主流范式是逆向的: 对每一个新场景都要执行长时间的 per-scene 优化, 才能得到一个“能渲染该场景”的辐射场参数 θ 。这带来两个根本性瓶颈:

- (1) 效率瓶颈: 同一套训练流程需要对每个场景重复数千/数万步迭代, 推理无法“一次完成”;
- (2) 部署与泛化瓶颈: 模型更像“场景记忆器”, 而非可泛化的场景编码器 (scene encoder)。

本文所称的 Novel NeRF, 核心是在范式上转向 once-for-all 的前向 (forward) 生成: 给定多视角图像, 模型直接输出一个可渲染的场景表示 \mathcal{S} , 从而在生成“场景表示”这一步上做到一次前向推理 (而非多次优化)。这条路线的意义不仅在于加速, 更在于它有潜力发展为一种新型 3D 场景表示:

- \mathcal{S} 可被视为对场景的压缩表示 (compact scene code), 存储成本低;
- 给定 \mathcal{S} 可通过体渲染得到任意视角投影, 满足下游使用;

- 若该表示能跨场景泛化，则“从图像到 3D 表示”的链路将更接近通用视觉系统的需求。

3.1 Feed-Forward的实现路径

围绕“前向生成可渲染表示”，我们规划了两条实现路线，出于时间和资源的限制，我们主要围绕第二条路线进行模型训练：

3.2 路线一：T-NeRF

3.2.1 模型构建

T-NeRF 继承 VGGT 的“Aggregator + Head”范式：

- 输入： K 张多视角图像 $\{I_k\}_{k=1}^K$ 。
- Aggregator：提取并跨视角聚合 token，得到全局场景表征 \mathbf{Z} 。
- Radiance Head：将 \mathbf{Z} 映射为可渲染表示 \mathcal{S} ，使得对任意查询 (\mathbf{x}, \mathbf{d}) 都能输出 (\mathbf{c}, σ) ，并可接入标准体渲染器生成像素。

核心思想：把“复杂几何/外观”主要存入结构化网格 latent，由 Transformer 前向预测；把“解码成 RGB/ σ 的映射”交给一个全局共享的轻量 MLP。整体可视为： $\mathcal{S} = \{\mathbf{F}_{xy}, \mathbf{F}_{xz}, \mathbf{F}_{yz}\}$ ， $(\mathbf{c}, \sigma) = h_\psi([\mathbf{f}_{xy}(\mathbf{x}), \mathbf{f}_{xz}(\mathbf{x}), \mathbf{f}_{yz}(\mathbf{x}), \gamma(\mathbf{x}), \gamma(\mathbf{d})])$ 。

Tri-plane 预测：

- head 输出三个二维特征平面（示例： $64 \times 64 \times 32$ ），分别对应 xy , xz , yz 投影；
- 对任意 $\mathbf{x} = (x, y, z)$ ，在三个平面上做双线性插值：
 - $\mathbf{f}_{xy} = \text{bilinear}(\mathbf{F}_{xy}, (x, y))$
 - $\mathbf{f}_{xz} = \text{bilinear}(\mathbf{F}_{xz}, (x, z))$
 - $\mathbf{f}_{yz} = \text{bilinear}(\mathbf{F}_{yz}, (y, z))$
- 拼接后输入 Tiny MLP 输出 (\mathbf{c}, σ) 。

3.2.2 损失构建与训练

本文使用 NeRF-MAE 提供的预训练数据[1] (<https://huggingface.co/datasets/mirshad7/NeRF-MAE>)，该数据包含多个3D场景的场数据——在三维网格上提供每个 3D 点的 $\mathbf{c}^*(\mathbf{x})$ 与 $\sigma^*(\mathbf{x})$ 。

因此训练时可采用点监督（field supervision）的训练方式：从场数据中采样一批 3D 点 $\{\mathbf{x}_i\}$ ，由 T-NeRF 预测 (\mathbf{c}_i, σ_i) ，与 GT 直接回归对齐。

使用点监督的训练方法，对采样点 $\{\mathbf{x}_i\}$ 的损失可写为： $\mathcal{L}_{field} = \lambda_c \cdot \frac{1}{N} \sum_i \|\mathbf{c}_i - \mathbf{c}_i^*\|_1 + \lambda_\sigma \cdot \frac{1}{N} \sum_i \|\sigma_i - \sigma_i^*\|_1$ 。在实际训练过程中，冻结 Aggregator，仅训练新加 head，同时为提升训练稳定性与泛化，需要加入若干正则项：

- **参数/特征正则** (抑制投机解, 提升平滑性)

Tri-plane/grid latent 加 L_2 正则: $\mathcal{L}_{grid} = \|\mathbf{F}_{xy}\|_2^2 + \|\mathbf{F}_{xz}\|_2^2 + \|\mathbf{F}_{yz}\|_2^2$.

最终目标: $\mathcal{L} = \mathcal{L}_{field} + \lambda_{grid}\mathcal{L}_{grid}$ (+ 可选的渲染重建项).

训练流程可概括为:

- 1) 多视角输入经 VGGT Aggregator 得到 \mathbf{Z} ;
- 2) Radiance Head 输出 \mathcal{S} (MLP 参数或 Tri-plane);
- 3) 对采样点/射线进行查询 (以及可选体渲染) 得到预测;
- 4) 计算损失并反向传播, 更新 head (及可选更新 aggregator)。

3.3 路线二: ToDo

4. dynamic NeRF

4.1 朴素 Dynamic NeRF

为建立对照, 本项目实现并测试了两类常见的动态 NeRF (可对应 vanilla NeRF 风格代码的最小改动实现), 它们的共同目标是学习带时间的辐射场: $f_\theta : (\mathbf{x}, \mathbf{d}, t) \mapsto (\mathbf{c}, \sigma)$.

实现方案:

方案 A: 时间嵌入直接注入 MLP (Time-as-Input)

做法是对时间标量 t 进行嵌入/位置编码 (例如 $\gamma(t)$), 并与空间位置编码、方向编码拼接后送入同一个 NeRF MLP: $(\mathbf{c}, \sigma) = f_\theta([\gamma(\mathbf{x}), \gamma(\mathbf{d}), \gamma(t)])$. 这一实现简单, 但本质是对“时空变化”做连续回归: 当动态较复杂或监督稀疏时, 容易出现**边界抖动、局部模糊**, 表现为不同时间的高频细节不稳定。

方案 B: 静态场 + 动态残差 (Two-Network / Residual Dynamics)

将场分解为静态部分与动态偏差, 两网络共同决定输出: $(\mathbf{c}_s, \sigma_s) = f_{\theta_s}(\mathbf{x}, \mathbf{d})$, $(\Delta\mathbf{c}, \Delta\sigma) = f_{\theta_d}(\mathbf{x}, \mathbf{d}, t)$, $(\mathbf{c}, \sigma) = (\mathbf{c}_s + \Delta\mathbf{c}, \sigma_s + \Delta\sigma)$.

实现上, 为了提升训练稳定性并加速收敛, 我们在 deformation 的动态分支 (或残差 MLP) 中额外加入了**LayerNorm**。该做法能有效缓解梯度爆炸/数值不稳定, 使模型不必依赖更长的训练轮次来稳定优化过程。

效果分析

我们在 D-NeRF 数据集的 8 个动态场景上对两种朴素实现方案进行了量化评估。表格展示了 PSNR (Peak Signal-to-Noise Ratio, 越高越好) 和 SSIM (Structural Similarity Index, 越高越好) 两个主要指标及其标准差。

表 1: Deformation

场景 (Scene)	PSNR (dB)	SSIM	PSNR Std	SSIM Std
bouncingballs	28.70	0.9602	3.31	0.0261
hellwarrior	24.82	0.9487	2.15	0.0145
hook	29.17	0.9634	3.22	0.0228
jumpingjacks	32.39	0.9742	4.09	0.0327
lego	21.83	0.8481	1.37	0.0422
mutant	31.25	0.9736	3.23	0.0147
standup	33.31	0.9804	3.61	0.0114
trex	31.38	0.9726	2.85	0.0247
平均	29.11	0.9527	2.98	0.0236

表 2: Straightforward

场景 (Scene)	PSNR (dB)	SSIM	PSNR Std	SSIM Std
bouncingballs	31.64	0.9702	1.44	0.0065
hellwarrior	21.77	0.9153	0.91	0.0115
hook	24.29	0.9068	1.06	0.0145
jumpingjacks	27.58	0.9467	1.90	0.0173
lego	23.54	0.8581	0.74	0.0198
mutant	25.96	0.9283	1.16	0.0128
standup	26.20	0.9452	1.72	0.0157
trex	27.12	0.9338	1.15	0.0143
平均	26.01	0.9255	1.26	0.0141

结果分析与讨论

1. Deformation 方案的平均效果显著优于 Straightforward 方案:

- 平均 PSNR: 29.11 dB vs 26.01 dB (提升约 3.09 dB)
- 平均 SSIM: 0.9527 vs 0.9255 (提升约 0.027, 约 2.9%)
- 说明将场景分解为静态与动态两部分的建模策略更有效, 静态背景提供稳定基础, 动态残差仅需学习变化部分, 降低了优化难度。

2. 训练稳定性差异:

- Deformation 的 PSNR 标准差 (2.98) 显著高于 Straightforward (1.26), 说明其在不同时刻/视角的表现波动较大, 但峰值质量更高。
- Straightforward 方案整体更稳定 (PSNR/SSIM 的 std 更小), 但在大多数场景上仍低于 Deformation, 说明仅将时间作为连续变量直接回归往往难以充分建模复杂动态。

3. 朴素方法的共同局限:

- 对时间的连续回归（无论直接注入还是残差预测）缺乏语义级约束，导致时序一致性差、容易产生闪烁/模糊（尤其在遮挡/快速形变区域）。
- 训练对超参数（如 weight decay、learning rate）极其敏感，容易退化为“发白/输出均值场”的塌缩解（如前文 5.1 所述）。

基于上述局限，本文提出在特征空间进行语义一致插值的 Novel Dynamic NeRF 方案（见下节 5.2），从根本上避免逐点时间回归，进行实验验证方案的可行性。

4.2 Novel Dynamic NeRF based on vggt:

动机：

传统动态 NeRF 将时间 t 作为额外输入回归场函数，或用静态/动态双网络预测偏移。由于每个 3D 点（或采样点）被独立回归，缺乏“语义级约束”，容易出现局部不一致：同一物体不同部位预测位移不协调，导致边界模糊与闪烁。受到动画原理中的关键帧插值技术的启发，我们提出了一种基于VG GT 模型的动态场景生成技术方案，经过测试取得了良好的效果，具有可推广性。

实现方法：跨时刻 token 匹配 + 语义一致插值

设有两组时刻 t_0, t_1 的多视角照片，且相机参数与视角一一对应。我们在 **Aggregator** 的 **token** 特征空间进行插值，得到中间时刻 $t_i \in [t_0, t_1]$ 的 token，再送入后续注意力层与 head 输出三维结果（点云/网格/辐射场参数）。

步骤：

1. **局部匹配（语义对齐）：**对 t_0 中某 patch token，在 t_1 同位置附近（如 11×11 邻域）用余弦相似度搜索最相近 token，得到对应关系，避免仅按网格坐标硬匹配导致漂移。
2. **线性插值：**对匹配到的两端 token 特征做 $\mathbf{z}(t_i) = (1 - \alpha)\mathbf{z}(t_0) + \alpha\mathbf{z}(t_1)$ ， $\alpha = \frac{t_i - t_0}{t_1 - t_0}$ 。同时对 2D token 位置也插值，得到连续位置以提升运动的平滑性。
3. **双线性泼溅（splatting）+ 权重归一化：**将连续位置的插值 token 分配到邻近四个网格点，维护 Weight Grid 并做归一化，避免因覆盖不均导致能量漂移。

demo与效果分析

dynamic 的模型代码在 tnerf/model/dynamic_tnerf.py 程序中实现，我们在 VG GT 的 demo 代码的基础上进行一定的 ui 修改。运行时将 VG GT 模型的预训练参数放置在 vggt/model_weights 目录中，运行 vggt/demo_gradio.py，在页面中点击加载历史记录，就可以看到下面在两个时刻仅仅分别传入一张图片（无相机内外参）的预测示例：

如图 1 所示，绿色为我们传入的 t_0 与 t_1 时刻的图像，选择 alpha 分别为 0, 0.4, 0.7, 1.0 预测出了中间的四个点云，可以发现，成功且合理准确地预测出中间状态。

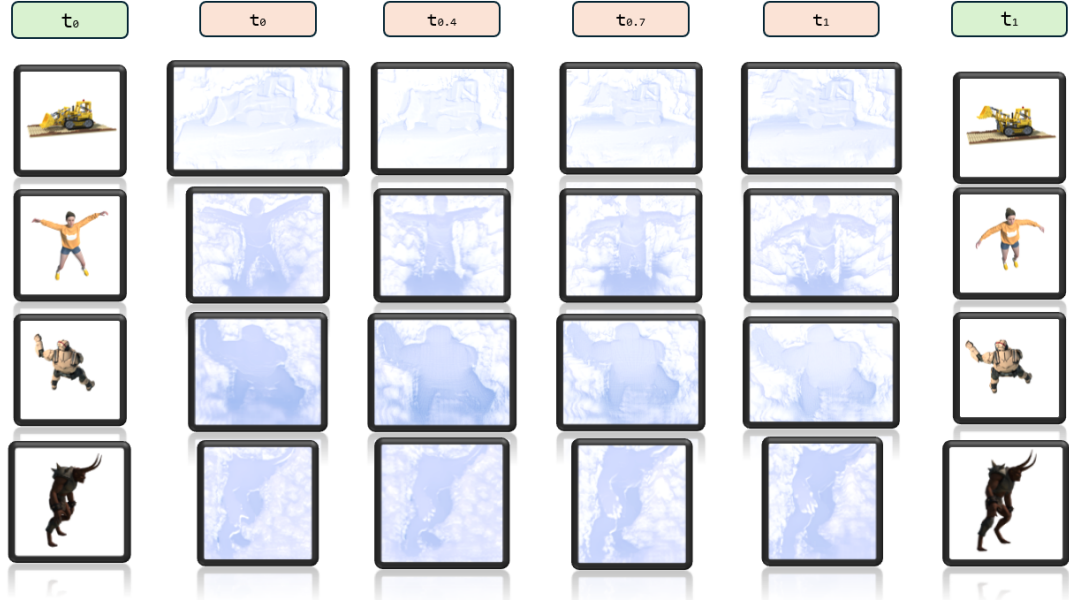


图 1: Dynamic NeRF 的中间时刻点云插值示例 ($\alpha = 0, 0.4, 0.7, 1.0$)

意义：把动态从“点级回归”提升为“语义级一致生成”

1. 该方案的关键优势在于：插值发生在 ViT 语义特征空间，token 表示的是“物体部件/语义片段”，因此运动一致性更强。
2. 由于 VGGT 本身的优势，此方法能够很适应不同数目的图像传入，即使只有一张图片也能获得很好的处理效果，天然更适配稀疏视角。
3. 在处理时间上，由于方法路线的差别，此方法也需要一个推理的时间，实测传入两个时刻各一张图片，从插值到生成[0,0.1,0.2,...,0.9,1]时刻的点云，所需时间为5分钟左右。

相较逐点回归（容易让相邻点的位移互相矛盾），语义 token 插值在生成中间时刻时更稳定、更清晰。

5. 局限与未来工作

1. **训练数据与监督形式受限：**本文主要依赖 NeRF-MAE 的 RGB/Sigma 场数据进行点监督训练。该监督对“场函数拟合”较直接，但与真实应用中的图像监督仍存在 domain gap；同时数据覆盖的场景类型有限，可能影响跨域泛化能力。
2. **训练规模与算力预算不足：**出于时间和资源的限制，我们没有充分训练并验证 T-NeRF 的实现思路，仅完成代码框架与小规模训练验证(尽管看起来我觉得很 promising www)
3. **创新方案的dynamic nerf：**我们已经验证了方法的可行性，由于时间的限制，目前仅实际实现了动态点云的生成，还可以将此方法迁移到训练好的模型上，实现任意时刻的体渲染。

参考文献

- [1] Muhammad Zubair Irshad, Sergey Zakharov, Vitor Guizilini, Adrien Gaidon, Zsolt Kira, and Rares Ambrus. Nerf-mae: Masked autoencoders for self-supervised 3d representation learning for neural radiance fields. In *European Conference on Computer Vision (ECCV)*, 2024.
- [2] Jianyuan Wang, Minghao Chen, Nikita Karaev, Andrea Vedaldi, Christian Rupprecht, and David Novotny. Vggt: Visual geometry grounded transformer, 2025.